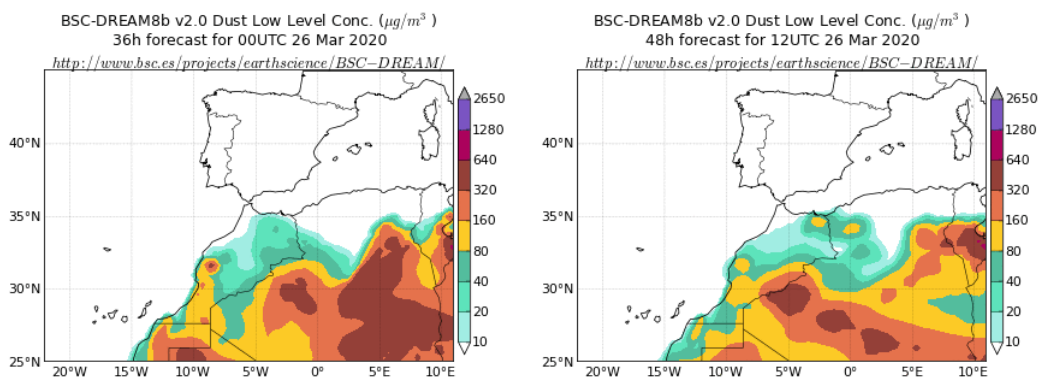


## Predicción de intrusión de masas de aire africano sobre España para el día 26 de marzo de 2020

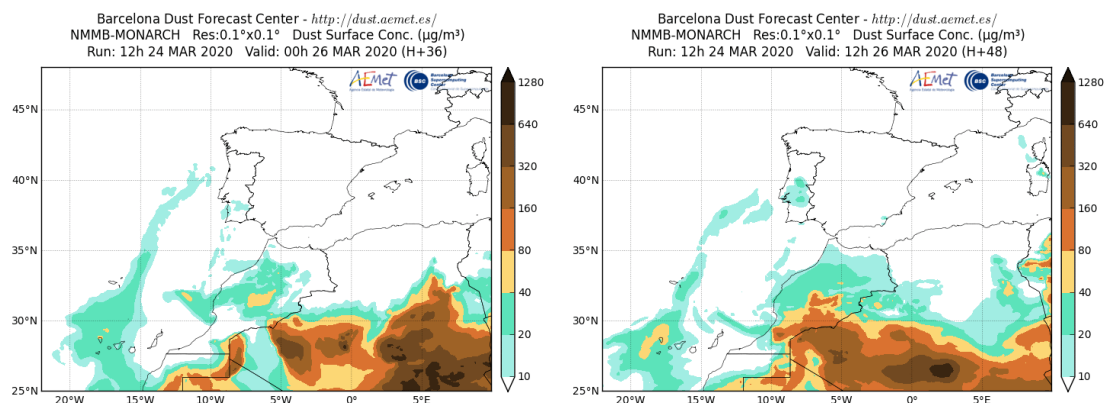
Los modelos consultados prevén la continuación del evento de intrusión de masas de aire africano que está teniendo lugar sobre la Península y las islas Canarias para el día 26 de marzo. No coinciden en sus estimaciones sobre las concentraciones de polvo en superficie, que podrían estar en el rango 10-80  $\mu\text{g}/\text{m}^3$  en las islas Canarias y ser inferiores a 20  $\mu\text{g}/\text{m}^3$  en el suroeste, sureste, centro, norte y noroeste peninsular. Según el modelo SKIRON también podría producirse depósito seco de polvo sobre el sur de la Península y las islas Canarias, y húmedo sobre el sur y centro peninsular y los archipiélagos Balear y Canario a lo largo del día.

El modelo BSC-DREAM8b v2.0 no coincide con los demás modelos y no prevé la presencia de masas de aire africano a nivel de superficie sobre la Península ni las islas Canarias para el día 26 de marzo.



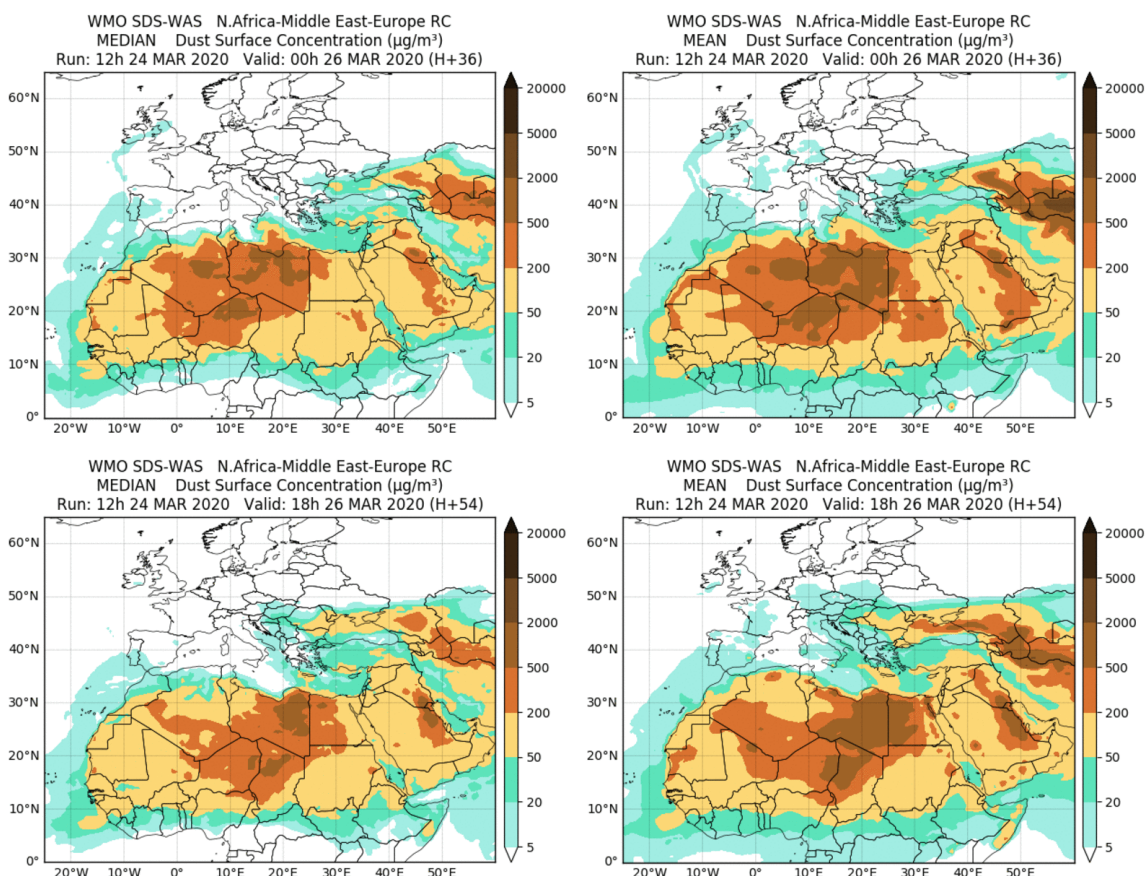
Concentración de polvo ( $\mu\text{g}/\text{m}^3$ ) predicha por el modelo BSC-DREAM8b v2.0 para el día 26 de marzo de 2020 a las 00 UTC (izquierda) y a las 12 UTC (derecha). © Barcelona Supercomputing Center.

El modelo NMMB-MONARCH prevé la presencia de masas de aire africano a nivel de superficie sobre la Península y las islas Canarias para el día 26 de marzo. Estima concentraciones de polvo en los rangos 10-20  $\mu\text{g}/\text{m}^3$  para el sureste de la Península y 10-80  $\mu\text{g}/\text{m}^3$  para las islas Canarias.



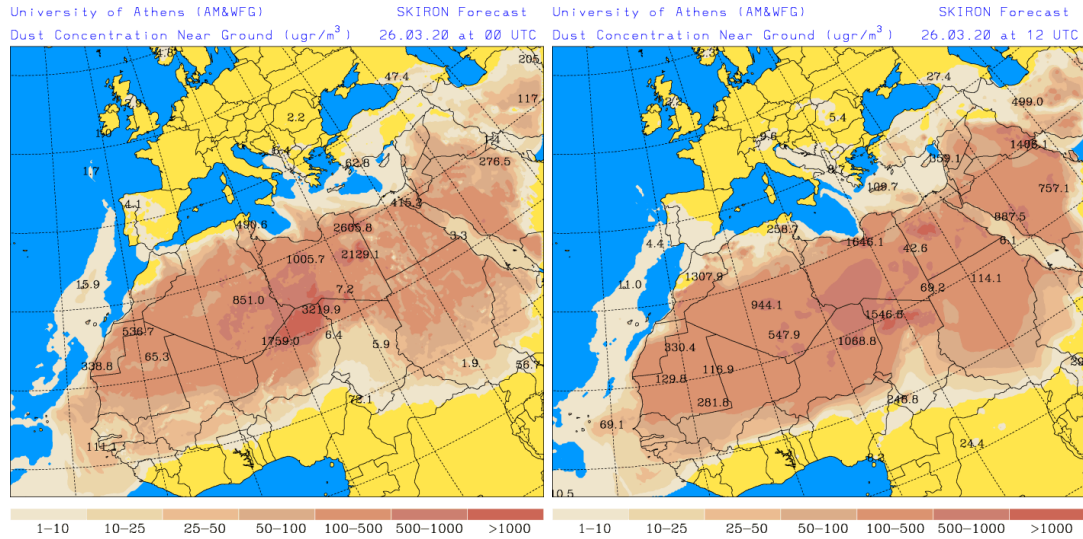
Concentración de polvo ( $\mu\text{g}/\text{m}^3$ ) predicha por el modelo NMMB-MONARCH para el día 26 de marzo de 2020 a las 00 UTC (izquierda) y a las 12 UTC (derecha). © Barcelona Dust Forecast Center.

El resultado de la comparación de modelos proporcionada por WMO SDS-WAS prevé también la presencia de polvo a nivel de superficie sobre la Península y las islas Canarias para el día 26 de marzo. Estima concentraciones de polvo en el rango  $5\text{-}20 \mu\text{g}/\text{m}^3$  para el noroeste, noreste, centro, sureste y suroeste peninsular y las islas Canarias.



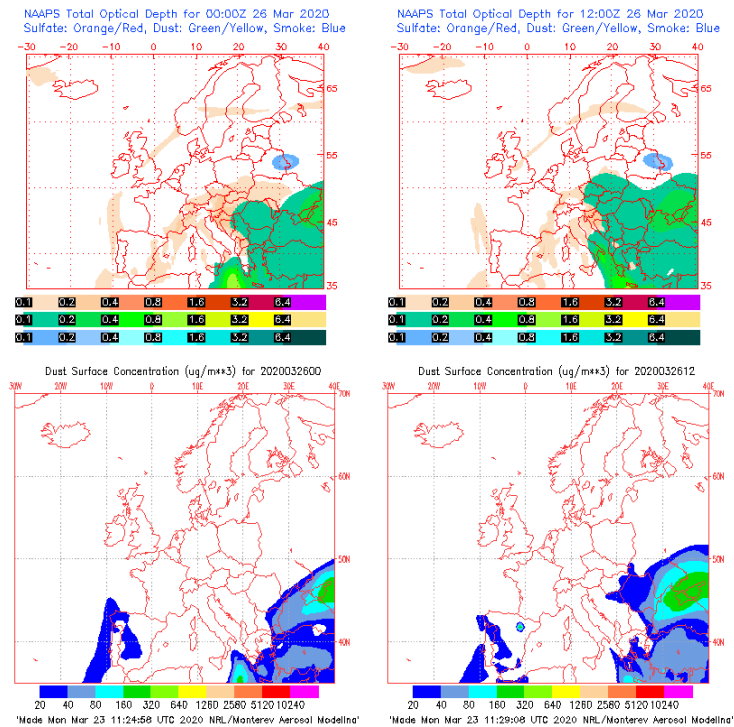
Resultados de la comparación de múltiples modelos de predicción de concentración de polvo (Mediana y Media en  $\mu\text{g}/\text{m}^3$ ) para el día 26 de marzo de 2020 a las 00h y a las 18h UTC. Sand and Dust Storm Warning Advisory and Assessment System Regional Center for Northern Africa, Middle East and Europe (SDS-WAS NAMEE RC; <http://sds-was.aemet.es>), gestionado conjuntamente por la Agencia Estatal de Meteorología (AEMET; <http://www.aemet.es/>) y el Barcelona Supercomputing Center (BSC, <https://www.bsc.es/>).

El modelo SKIRON prevé también la presencia de masas de aire africano sobre la Península y las islas Canarias para el día 26 de marzo. Estima concentraciones de polvo en superficie inferiores a  $10 \mu\text{g}/\text{m}^3$  para el sur, centro, noroeste y norte de la Península y en el rango  $1\text{-}25 \mu\text{g}/\text{m}^3$  para las islas Canarias.

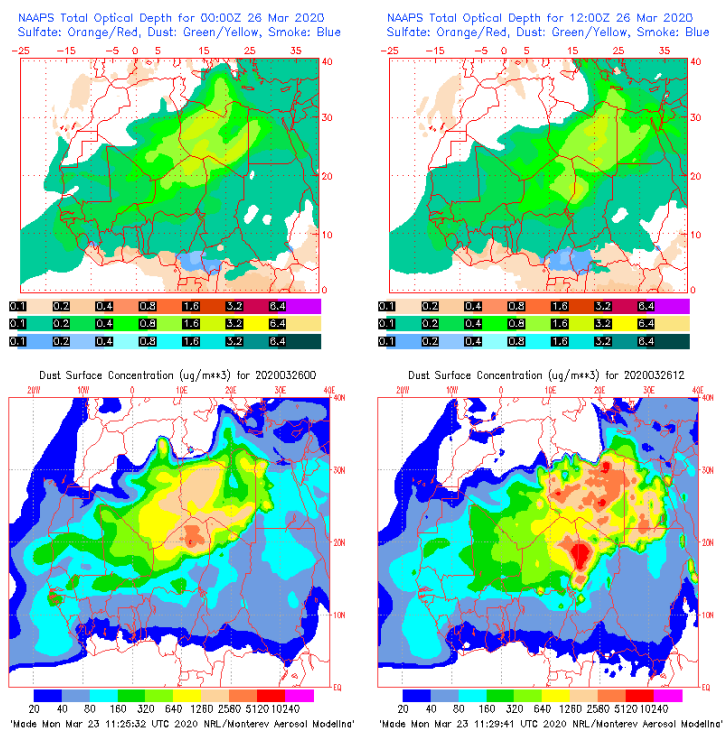


Concentración de polvo ( $\mu\text{g}/\text{m}^3$ ) predicha por el modelo SKIRON para el día 26 de marzo de 2020 a las 00 UTC y a las 12 UTC © Universidad de Atenas.

El modelo NAAPS prevé también la presencia de masas de aire africano sobre la Península y las islas Canarias para el día 26 de marzo. Estima concentraciones de polvo en superficie en los rangos  $20\text{-}40 \mu\text{g}/\text{m}^3$  para el suroeste, sureste, centro, noroeste y norte de la Península y  $20\text{-}80 \mu\text{g}/\text{m}^3$  para las islas Canarias.

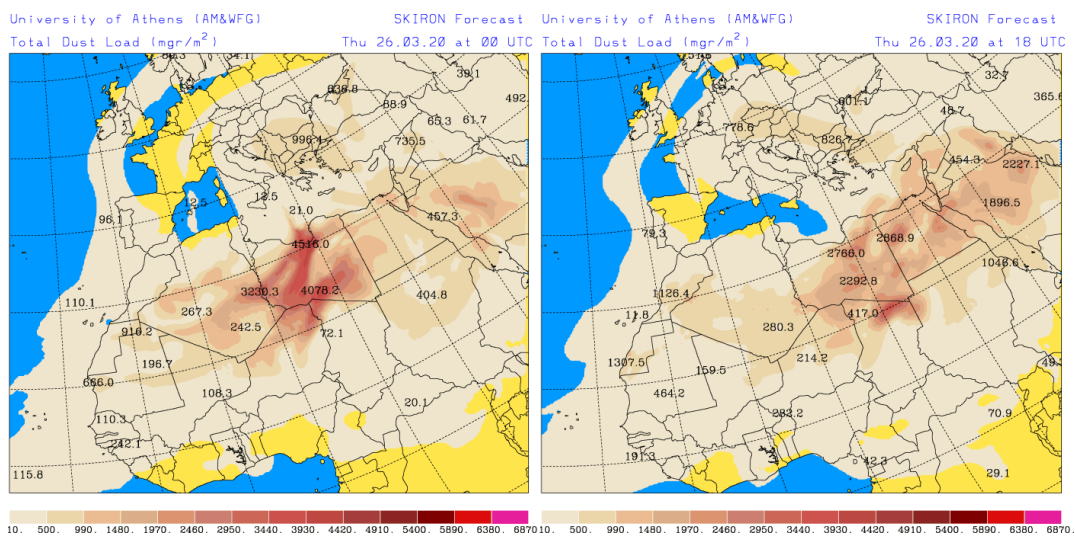


Espesor óptico de aerosoles a 550 nm (arriba) y concentración de polvo a nivel de superficie (abajo) previstos por el modelo NAAPS para el día 26 de marzo de 2020 a las 00 UTC y a las 12 UTC. ©Naval Research Laboratory (NRL), Monterey, CA.

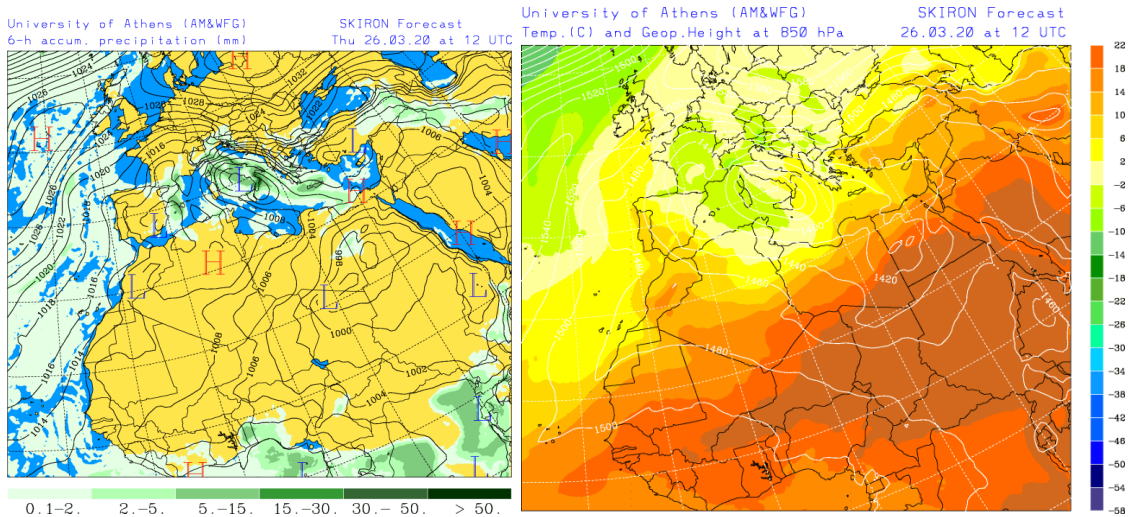


Espesor óptico de aerosoles a 550 nm (arriba) y concentración de polvo a nivel de superficie (abajo) previstos por el modelo NAAPS para el día 26 de marzo de 2020 a las 00 UTC y a las 12 UTC. ©Naval Research Laboratory (NRL), Monterey, CA.

Los mapas de carga total de polvo, así como los de presión a nivel del mar y altura geopotencial a nivel de 850 hPa proporcionados por el modelo SKIRON, muestran transporte de masas de aire africano sobre la Península y las islas Canarias, favorecido por las borrascas situadas al sur de la Península y Marruecos y el anticiclón localizado sobre Argelia.

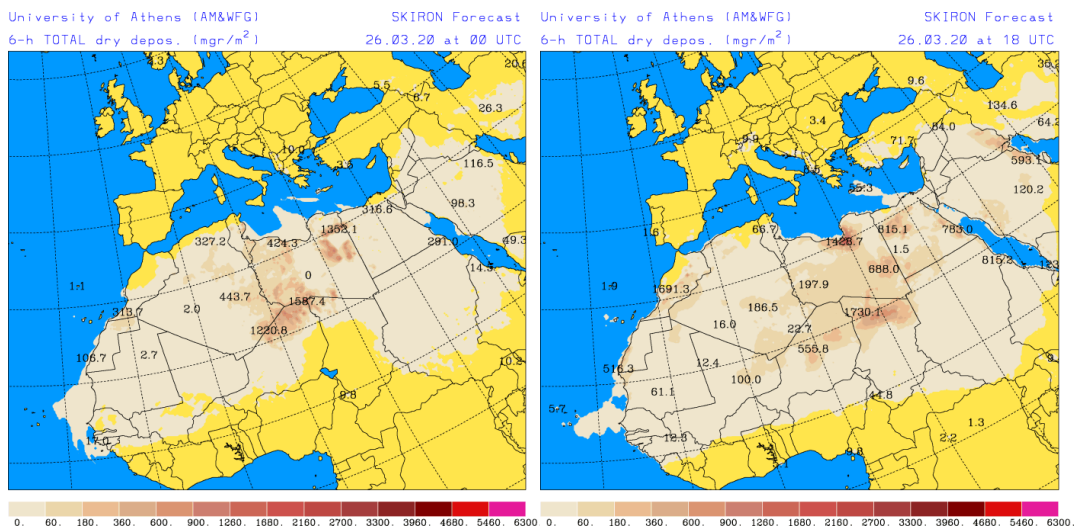


Carga total de polvo ( $\text{mg}/\text{m}^2$ ) predicha por el modelo SKIRON para el día 26 de marzo de 2020 a las 00 UTC (izquierda) y a las 18 UTC (derecha). © Universidad de Atenas.

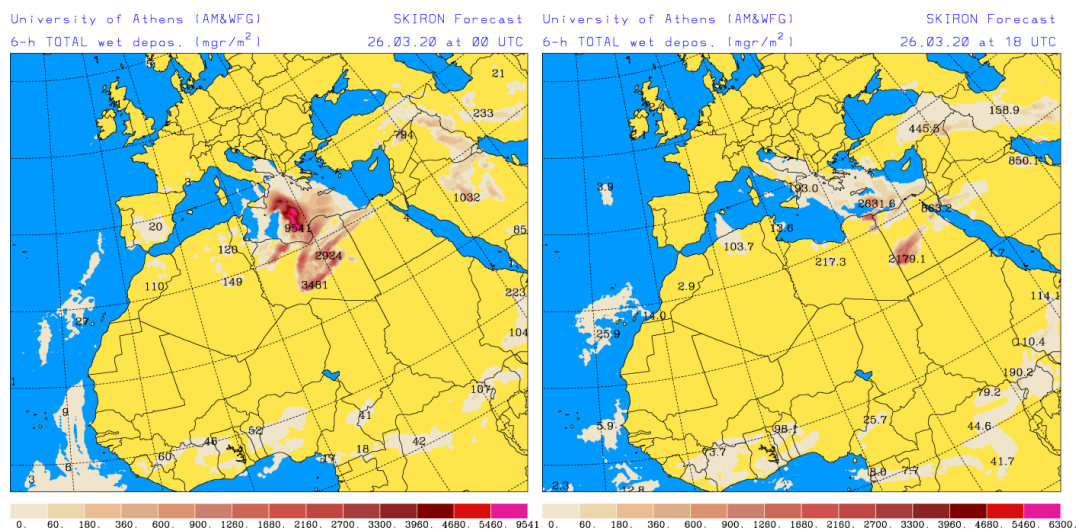


Precipitación acumulada (mm) y presión a nivel del mar (hPa) (izquierda) y campo de temperaturas (°C) y de altura geopotencial a 850 hPa (derecha) previsto por el modelo SKIRON para el día 26 de marzo de 2020 a las 12 UTC. © Universidad de Atenas.

Según el modelo SKIRON también podría producirse depósito seco de polvo sobre el sur de la Península y las islas Canarias, y húmedo sobre el sur y centro peninsular y los archipiélagos Balear y Canario a lo largo del día 26 de marzo.



Depósito seco de polvo ( $\text{mg}/\text{m}^2$ ) predicho por el modelo SKIRON para el día 26 de marzo de 2020 a las 00 UTC (izquierda) y a las 18 UTC (derecha). © Universidad de Atenas



Depósito húmedo de polvo (mg/m<sup>2</sup>) predicho por el modelo SKIRON para el día 26 de marzo de 2020 a las 00 UTC (izquierda) y a las 18 UTC (derecha). © Universidad de Atenas

-----  
 Fecha de elaboración de la predicción: 25 de marzo de 2020

Predicción elaborada por Noemí Pérez (IDAEA-CSIC)

Los datos son propiedad de la Dirección General de Calidad y Evaluación Ambiental, del Ministerio para la Transición Ecológica y el Reto Demográfico, y han sido obtenidos y se suministran en el marco del “Encargo del Ministerio para la Transición Ecológica a la Agencia Estatal Consejo Superior de Investigaciones Científicas para la detección de episodios naturales de aportes transfronterizos de partículas y otras fuentes de contaminación de material particulado, y de formación de ozono troposférico”.